

МИНИСТЕРСТВО ОБРАЗОВАНИЯ И НАУКИ РОССИЙСКОЙ
ФЕДЕРАЦИИ

ФЕДЕРАЛЬНОЕ ГОСУДАРСТВЕННОЕ БЮДЖЕТНОЕ
ОБРАЗОВАТЕЛЬНОЕ УЧРЕЖДЕНИЕ ВЫСШЕГО ОБРАЗОВАНИЯ
«ВЯТСКИЙ ГОСУДАРСТВЕННЫЙ УНИВЕРСИТЕТ»

Институт математики и информационных систем

Факультет автоматики и вычислительной техники

Кафедра автоматики и телемеханики

Расчетная графическая работа №3
по теме
«Переходные процессы в линейных электрических цепях»
Вариант 6

Выполнил:

студент гр. УТб-1301-02-00

Ердяков Р.А.

Проверил:

Вахрушев В.Ю.

Цель работы: освоить основы работы с линейными электрическими ветвями при переходных процессах, применив классический и операторный методы.

Задание: определить закон изменения во времени тока после коммутации в одной из ветвей классическим и операторным методами.

1 Классический метод

Электрическая цепь представлена на рисунке 1.1.

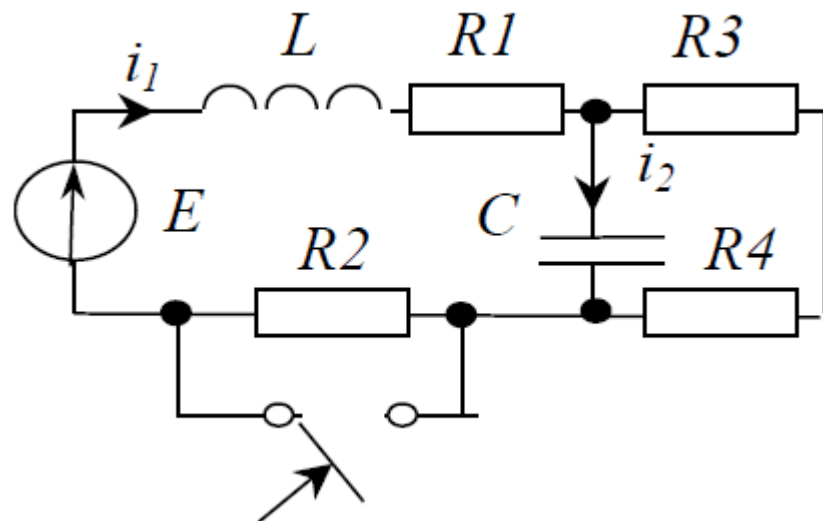


Рисунок 1.1

Исходные данные представлены в таблице 1.

Таблица 1 – Исходные данные

E, В	L, мГн	C, мкФ	R ₁	R ₂	R ₃	R ₄	Опре- делитель
			Ом				
50	1	1500	2	13	1	4	i ₁

До коммутации ключ разомкнут, следовательно ток идет через R₂. Катушка индуктивности может быть заменена на обычный проводник. Конденсатор ток не проводит. Исходя из этого, найдем параметры цепи до коммутации ($t = 0-$) формулам 1.1 и 1.2.

$$i_1(0-) = \frac{E}{R_1 + R_2 + R_3 + R_4} = 2,5 \text{ А} \quad (1.1)$$

$$U_C(0-) = i_1(0-) * (R_3 + R_4) = 12,5 \text{ В} \quad (1.2)$$

По закону коммутации в момент времени $t=0+$ ток и напряжение могут быть найдены по формулам 1.3 и 1.4.

$$i1(0-) = i1(0+) = 2,5 \text{ A} \quad (1.3)$$

$$Uc(0-) = Uc(0+) = 12,5 \text{ В} \quad (1.4)$$

Заменим катушку и конденсатор эквивалентными сопротивлениями $L * p$ и $\frac{1}{c * p}$ соответственно. Составим характеристическое уравнение получившейся цепи, при этом нужно учесть, что после замыкания ключа ток больше не пойдет через R_2 (формула 1.5).

$$Z = R1 + L * p + \frac{\frac{1}{c * p} * (R3 + R4)}{\frac{1}{c * p} + (R3 + R4)} \quad (1.5)$$

Приравняем получившееся выражение к нулю и найдем неизвестные p (формула 1.6).

$$\begin{aligned} R1 * (R3 + R4) * c * p + R1 + L * p^2 * (R3 + R4) * c \\ + L * p + (R3 + R4) = 0 \end{aligned} \quad (1.6)$$

Подставим числа и решим уравнение (формула 1.7 и формула 1.8).

$$7,5 * 10^{-6}p^2 + 0,016p + 7 = 0 \quad (1.7)$$

$$p1 = -1,519 * 10^3 \quad p2 = -614,511 \quad (1.8)$$

Получились целые корни, следовательно переходный процесс апериодический.

Запишем свободную составляющую тока (формула 1.9).

$$i1_{\text{СВ}}(t) = A1 * e^{p1*t} + A2 * e^{p2*t} \quad (1.9)$$

Рассчитаем параметры цепи после коммутации (формула 1.10 и 1.11).

$$i1_{\text{пр}} = \frac{E}{R1 + R3 + R4} = 7,143 \text{ A} \quad (1.10)$$

$$U_{\text{спр}} = i1_{\text{пр}} * (R3 + R4) = 35,715 \text{ В} \quad (1.11)$$

Найдем значения $A1$ и $A2$ из формулы 1.9 по формуле 1.12.

$$\begin{aligned} i1_{\text{СВ}}(t) &= A1 + A2 \\ \frac{d(i1_{\text{СВ}}(t))}{dt} &= A1 * p1 + A2 * p2 \end{aligned} \quad (1.12)$$

Подставив значения и решив систему, получим $A_1 = 28,136$ и $A_2 = 32,779$.

Ток i_1 можно найти как сумму свободной и принужденной его составляющих по формуле 1.13.

$$i_1(t) = 7,143 + 28,136 * e^{(-614,511)*t} - 32,779 * e^{(-1,519*10^3)*t} \quad (1.13)$$

График зависимости тока от времени представлен на рисунке 1.2.

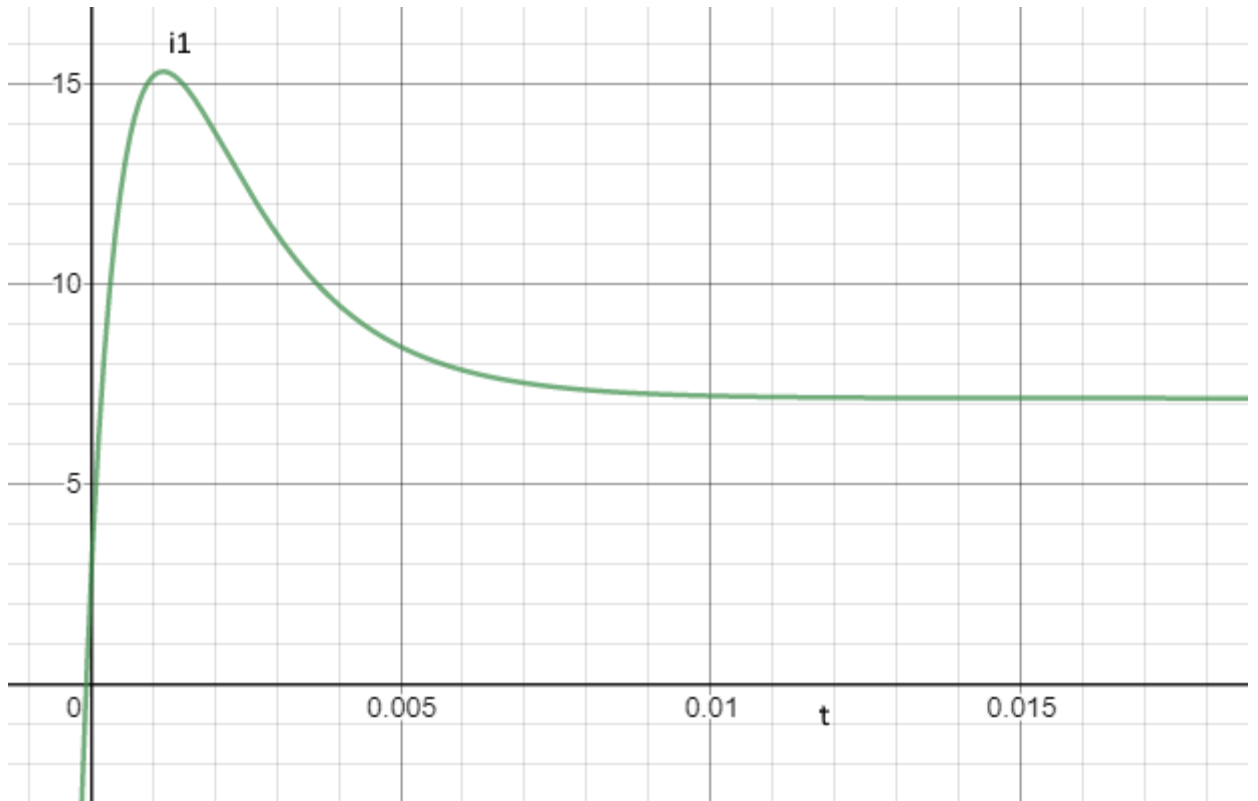


Рисунок 1.2

2 Операторный метод

Параметры цепи до коммутации уже найдены.

Добавим к катушке и конденсатору источники напряжения $L * i_1(0)$ и $\frac{U_c(0)}{p}$, сопротивления катушки и конденсатора будут равны $L * p$ и $\frac{1}{c * p}$.

Найдем изображение тока $I_1(p)$ по закону Кирхгофа (формула 2.1).

$$\begin{aligned} I_1(p) * \left(R_1 + L * p + \frac{1}{c * p} \right) - 12(p) * \frac{1}{c * p} &= \frac{E}{p} + L * i_1(0) - \frac{U_c(0)}{p} \\ -I_1(p) * \frac{1}{c * p} + I_2(p) * \left(R_3 + R_4 + \frac{1}{c * p} \right) &= \frac{U_c(0)}{p} \end{aligned} \quad (2.1)$$

Подставим числа и найдем I1, решив систему аналитически (таблица 2).

Таблица 2 – Нахождение I1

$$\begin{aligned}
 M &:= \begin{pmatrix} R1 + p \cdot L + \frac{1}{p \cdot C} & \frac{-1}{p \cdot C} \\ \frac{-1}{p \cdot C} & R3 + R4 + \frac{1}{p \cdot C} \end{pmatrix} \\
 M &:= \begin{pmatrix} \frac{E - p \cdot L \cdot I1 - Uc}{p} & \frac{-1}{p \cdot C} \\ \frac{Uc}{p} & R3 + R4 + \frac{1}{p \cdot C} \end{pmatrix} \\
 |M| &\rightarrow \frac{3 \cdot p^2 + 6400 \cdot p + 2800000}{600 \cdot p} \\
 |M1| &\rightarrow \frac{3.333e - 18 \cdot (5.575e19 \cdot p - 3.75e15 \cdot p^2 + 1.0e22)}{p^2} \\
 I1 &:= \left| \frac{M1}{M} \right| \rightarrow \frac{223000.0 \cdot p - 15.0 \cdot p^2 + 4.0e7}{6.0 \cdot p^3 + 12800.0 \cdot p^2 + 5.6e6 \cdot p}
 \end{aligned}$$

Найдем значения p1 и p2. Для этого нужно знаменатель получившейся дроби поделить, на p и решить получившееся квадратное уравнение (таблица 3).

Таблица 3 – Нахождение значений p1 и p2

$$\begin{aligned}
 I11 &:= \left| \frac{M1}{M} \right| \rightarrow \frac{223000.0 \cdot p - 15.0 \cdot p^2 + 4.0e7}{6.0 \cdot p^3 + 12800.0 \cdot p^2 + 5.6e6 \cdot p} \rightarrow \\
 p1 &:= \frac{-12800.0}{2 \cdot 6.0} + \sqrt{\frac{12800.0^2}{4 \cdot 6.0^2} - \frac{5.6e6}{6.0}} \\
 p1 &:= \frac{-12800.0}{2 \cdot 6.0} + \sqrt{\frac{12800.0^2}{4 \cdot 6.0^2} - \frac{5.6e6}{6.0}} \\
 p1 &= -614.511 \\
 p2 &= -1.519 \times 10^3
 \end{aligned}$$

Полученные значения р совпали с классическим методом.

Теперь необходимо перейти от изображения тока к оригиналу по формуле 2.2.

$$i1(t) := \frac{F1(0)}{F3(0)} + \frac{F1(p1)}{p1 \cdot F3(p1)} \cdot e^{p1 \cdot t} + \frac{F1(p2)}{p2 \cdot F3(p2)} \cdot e^{p2 \cdot t} \quad (2.2)$$

$F1(p)$ – это числитель дроби получившейся в таблице 2, $F3(p)$ – это производная от знаменателя дроби, получившейся в таблице 2, предварительно разделенного на p .

Получившиеся $F1(p)$ и $F3(p)$ представлены в таблице 4.

Таблица 4 – $F1(p)$ и $F3(p)$

$F1(p) := 223000.0 \cdot p - 15.0 \cdot p^2 + 4.0e7$
$F3_{-1}(p) := 12 \cdot p + 12800.0$

Подставим числовые значения в формулу 2.2. Результат представлен в формуле 2.3.

$$i1(t) := 7.143 + 30.802 \cdot e^{-614.511 \cdot t} - 40.444 \cdot e^{-1.519 \times 10^3 \cdot t} \quad (2.3)$$

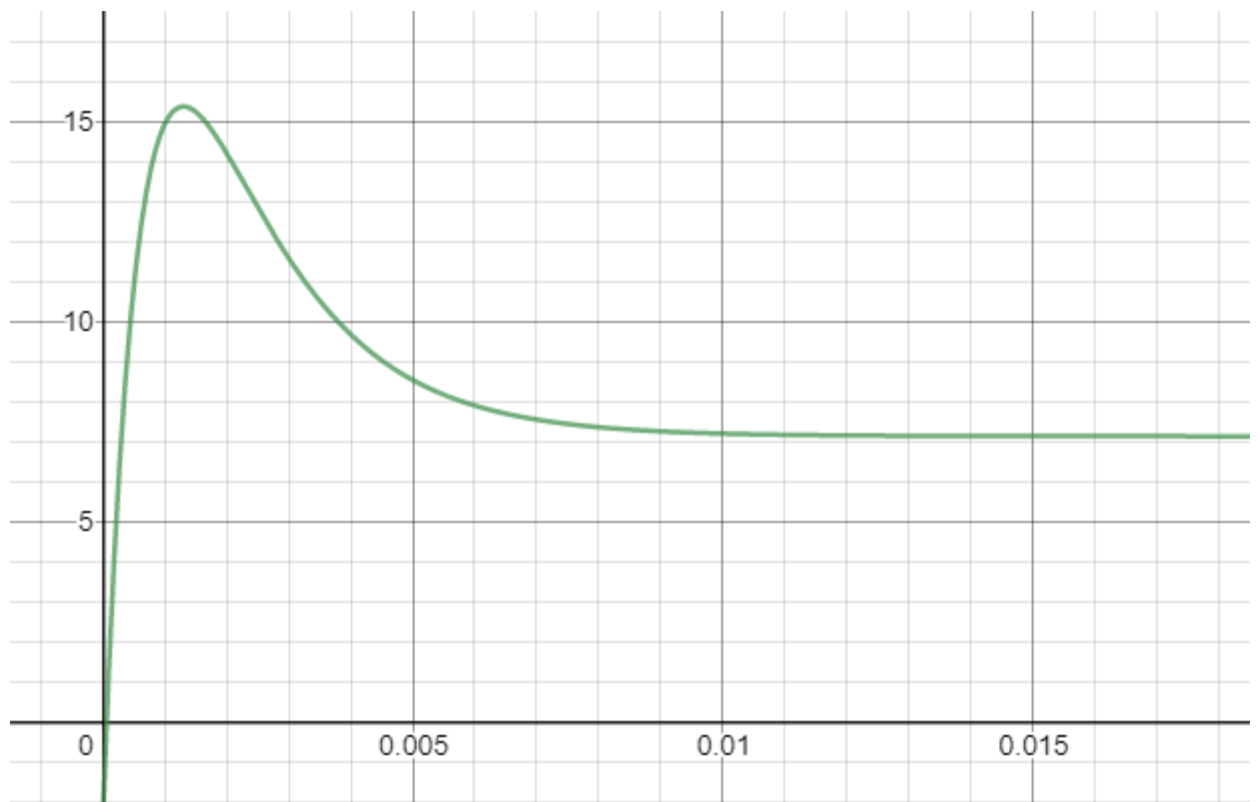


График зависимости тока от времени представлен на рисунке 2.1.

Рисунок 2.1

Расхождение между графиками, полученными классическим и операторными методами незначительное и оно вызвано из-за погрешности вычислений.

Вывод: был произведен расчет параметров переходного процесса линейной электрической цепи. В ходе работы использовался классический и операторный метод расчета цепей. Определен закон изменения во времени тока после коммутации